

Влияние антиферромагнитного упорядочения на эффект де Гааза–ван Альфена в полуметалле

© В.В. Вальков, Д.М. Дзедзисашвили

Институт физики им. Л.В. Киренского Сибирского отделения Российской академии наук, 660036 Красноярск, Россия

(Поступила в Редакцию 12 июля 1996 г.)

Теоретически рассмотрены особенности эффекта де Гааза–ван Альфена в полуметаллах с дальним антиферромагнитным порядком. Показано, что при переходе подсистемы локализованных спинов из скошенной антиферромагнитной фазы в ферромагнитную происходит резкая смена "частоты" осцилляций намагниченности зонных носителей M_{\sim} . В области полей, меньших критического, M_{\sim} не является периодической функцией по $1/H$. Существенно, что дополнительный вклад в фазу осциллирующих сомножителей пропорционален H^2 и целиком определяется квантовыми флуктуациями в антиферромагнитной подсистеме.

Нетривиальность проблемы электронного строения систем с сильными корреляциями (ССК) привела к формированию нескольких концепций для построения функции основного состояния и определения спектра элементарных возбуждений [1–4]. Традиционно к ССК относят тяжелые фермионы, системы со смешанной валентностью, Кондо-системы, высокотемпературные сверхпроводники. Благодаря необычным свойствам отмеченных классов твердотельных систем в теории возникли сценарии маргинальной ферми-жидкости [5], почти локализованной ферми-жидкости [6] и т.д. Сделать однозначный вывод в пользу того или иного подхода к проблеме основного состояния ССК в настоящее время не представляется возможным. В этой связи особую актуальность приобретают экспериментальные методы, позволяющие тестировать электронные свойства ССК, связанные с функцией основного состояния. К таковым относятся исследования, основанные на эффекте де Гааза–ван Альфена (ГА).

Многие соединения с тяжелыми фермионами при низких температурах обладают дальним антиферромагнитным (АФМ) порядком. В магнитном поле может происходить смена типа магнитного упорядочения, что должно отразиться на характере осцилляций магнитного момента коллективизированных электронов M_{\sim} . В [7] при экспериментальном исследовании эффекта ГА в тяжелофермионном сверхпроводнике CeCu_2Si_2 в области магнитных полей $H > H_{c2}$ были обнаружены сильные изменения в зависимости M_{\sim} от H при переходе в коллинеарную фазу. Теоретически влияние АФМ-параметра порядка через механизм нелинейной связи в тяжелых фермионах рассматривалось в [8,9]. Однако отмеченные изменения в зависимости M_{\sim} от H не предсказывались.

В последнее время среди ССК выделился класс полуметаллических и полупроводниковых соединений, в которых концентрация зонных носителей достаточно низка. В качестве примеров могут служить монопниктиды церия [10,11]. Эти соединения также

обладают дальним антиферромагнитным порядком, а эффект ГА не описывается в рамках обычной теории Лифшица–Косевича [12].

В настоящей статье показано, что АФМ-упорядочение через механизм $s-d(f)$ -обменной связи существенно влияет на зависимость M_{\sim} от H . Конкретный механизм такого влияния отличен от механизма [8,9]. В нашем случае определяющим является $s-d(f)$ -обменная связь зонных и локализованных электронов. При этом, как показано далее, обсуждаемый эффект обусловлен не среднеполевым поведением параметра порядка, а квантовыми флуктуациями в АФМ-подсистеме локализованных спинов.

1. Гамильтониан антиферромагнитного полуметалла

Систему электронов, дырок и антиферромагнитноупорядоченных локализованных спинов будем описывать гамильтонианом

$$H = H_e + H_h + H_{s-d} + H_m + H_z, \quad (1)$$

где H_e и H_h — операторы, описывающие соответственно не взаимодействующие электроны и дырки в магнитном поле, H_{s-d} учитывает $s-d(f)$ -обменное взаимодействие между коллективизированными частицами и локализованными спиновыми моментами, H_m — гамильтониан взаимодействий между спиновыми моментами, приводящих к формированию дальнего АФМ-порядка, H_z соответствует энергии зеемановского взаимодействия локализованных спинов с внешним магнитным полем.

В парамагнитном состоянии слагаемые гамильтониана (1), описывающие свободные квазичастицы, можно записать в виде

$$H_e + H_h = \sum_{k\sigma} \left\{ (\epsilon_{k\sigma}^e - \mu) c_{ek\sigma}^+ c_{ek\sigma} + (\epsilon_{k\sigma}^h + \mu) c_{hk\sigma}^+ c_{hk\sigma} \right\}, \quad (2)$$

где

$$\varepsilon_{k\sigma}^e = \varepsilon_k^e - 2\sigma\mu_B H, \quad \varepsilon_{k\sigma}^h = \varepsilon_k^h - 2\sigma\mu_B H, \quad \sigma = \pm 1/2. \quad (3)$$

В этих выражениях μ — химический потенциал системы, $c_{ek\sigma}$ — оператор уничтожения электрона в блоховском состоянии с квазиимпульсом k и проекцией спинового момента σ , $c_{hk\sigma}$ — аналогичный оператор для дырки. Эрмитово-сопряженные операторы $c_{ek\sigma}^+$ и $c_{hk\sigma}^+$ описывают процессы рождения электронов и дырок в состояниях $(k\sigma)$. Энергетический спектр электронов описывается законом дисперсии ε_k^e . Аналогичная функция для дырок обозначена через ε_k^h . В магнитном поле \mathbf{H} спиновые подзоны квазичастиц испытывают обычное зеемановское расщепление, что отражено формулами (3), в которых μ_B — магнетон Бора.

При переходе в АФМ-фазу, как известно [13], происходит модификация энергетического спектра носителей тока из-за существования $s-d(f)$ -связи. Для описания этого эффекта удобно перейти в представление Ванье [14] и ввести две подрешетки. Для сокращения записи поступим следующим образом.

Введем индекс λ так, чтобы при $\lambda = e$ соответствующие величины и операторы относились к электронам, а при $\lambda = h$ — к дыркам. Тогда в представлении Ванье слагаемые $H_e + H_h$ в АФМ-фазе можно записать в виде

$$H_e + H_h = \sum_{\lambda f f'} t_{\sigma}^{\lambda}(f, f') c_{\lambda f \sigma}^+ c_{\lambda f' \sigma} + \sum_{\lambda g g'} t_{\sigma}^{\lambda}(g, g') d_{\lambda g \sigma}^+ d_{\lambda g' \sigma} + \sum_{\lambda f g} t_{f g}^{\lambda} (c_{\lambda f \sigma}^+ d_{\lambda g \sigma} + d_{\lambda g \sigma}^+ c_{\lambda f \sigma}), \quad (4)$$

где $c_{\lambda f \sigma} (c_{\lambda f \sigma}^+)$ — оператор уничтожения (рождения) квазичастицы сорта λ с проекцией спинового момента σ в представлении Ванье. Индексы f и f' нумеруют узлы, относящиеся к F -подрешетке, а $-g$ и g' нумеруют узлы G -подрешетки. Операторы квазичастиц, относящиеся к G -подрешетке, обозначены через $d_{\lambda g \sigma} (d_{\lambda g \sigma}^+)$. Две первые суммы в (4) описывают процессы перехода квазичастиц между различными узлами в пределах одной подрешетки. Последняя сумма соответствует переходам квазичастиц из разных подрешеток. При этом

$$t_{\sigma}^{\lambda}(f, f') = t_{f f'}^{\lambda} - \delta_{f f'} (2\sigma\mu_B H + \mu_{\lambda}). \quad (5)$$

Здесь электронный химический потенциал $\mu_e = \mu$, тогда как для дырки $\mu_h = -\mu$. Переход в представление квазиимпульса для параметров туннелирования определяется обычным образом

$$t_{\sigma}^{\lambda}(f, f') = \frac{1}{N} \sum_k \exp\{ik(f - f')\} t_{k\sigma}^{\lambda},$$

$$t_{\sigma}^{\lambda}(g, g') = \frac{1}{N} \sum_k \exp\{ik(g - g')\} t_{k\sigma}^{\lambda},$$

$$t_{f g}^{\lambda} = \frac{1}{N} \sum_k \exp\{ik(f - g)\} \Gamma_k^{\lambda}, \quad (6)$$

причем

$$t_{k\sigma}^{\lambda} = t_k^{\lambda} - 2\sigma\mu_B H - \mu_{\lambda}. \quad (7)$$

Предполагается, что в каждой подрешетке имеется N эквивалентных узлов. Связь величин t_k^{λ} и Γ_k^{λ} с энергетическим спектром электронов и дырок в парафазе будет обсуждаться далее после нахождения полного спектра в АФМ-фазе.

В узельном представлении легко записать оставшиеся слагаемые гамильтониана (1) для АФМ-состояния

$$H_{s-d} = - \sum_{f\lambda} J_{\lambda} (\mathbf{S}_f \sigma_{f\lambda}) - \sum_{g\lambda} J_{\lambda} (\mathbf{S}_g \sigma_{g\lambda}), \quad (8)$$

где \mathbf{S}_m — векторный оператор локализованного на узле m спинового момента, $\sigma_{m\lambda}$ — векторный оператор спина коллективизированных квазичастиц сорта λ на узле m , J_{λ} — параметр $s-d(f)$ -обменного взаимодействия локализованного спина с квазичастицей сорта λ .

При описании взаимодействий в подсистеме локализованных спинов ограничимся моделью Гейзенберга. Тогда

$$H_m + H_z = -\frac{1}{2} \sum_{f f'} I_{f f'} (\mathbf{S}_f \mathbf{S}_{f'}) - \frac{1}{2} \sum_{g g'} I_{g g'} (\mathbf{S}_g \mathbf{S}_{g'}) + \sum_{f g} K_{f g} (\mathbf{S}_f \mathbf{S}_g) - g\mu_B H \left(\sum_f S_f^z + \sum_g S_g^z \right), \quad (9)$$

где два первых слагаемых описывают обменные взаимодействия внутри подрешеток, третье слагаемое описывает взаимодействие спиновых моментов из разных подрешеток. Последнее слагаемое соответствует зеемановскому взаимодействию с внешним магнитным полем. Параметры $I_{f f'}$, $I_{g g'}$ и $K_{f g}$ соответствуют интегралам обменных взаимодействий между локализованными спинами из одной и из разных подрешеток.

2. Унитарные преобразования гамильтониана

Как известно [15,16], в магнитном поле в изотропном антиферромагнетике имеет место так называемый скос подрешеток. В этом случае вектор ферромагнетизма ориентирован по полю, а вектор антиферромагнетизма перпендикулярен вектору \mathbf{H} . Для идентичных подрешеток скашивание можно охарактеризовать одним углом θ . Выберем исходную систему координат так, чтобы векторы равновесной намагниченности \mathbf{R}_F и \mathbf{R}_G для F - и G -подрешеток лежали в плоскости xOz , как показано на рис. 1. Поле \mathbf{H} направлено вдоль оси Oz , введены обозначения

$$\mathbf{R}_F = \frac{1}{N} \sum_f \langle \mathbf{S}_f \rangle, \quad \mathbf{R}_G = \frac{1}{N} \sum_g \langle \mathbf{S}_g \rangle. \quad (10)$$

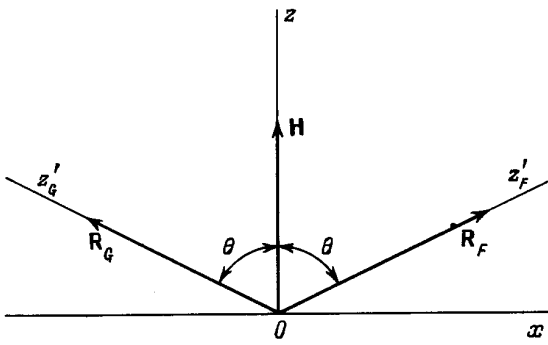


Рис. 1. Ориентации равновесных намагниченностей подрешеток и осей локальных систем координат.

В общем случае состояние локализованной подсистемы из-за взаимодействия H_{s-f} должно находиться с учетом коллективизированных квазичастиц. Однако при низкой концентрации электронов и дырок воздействием зонной подсистемы на состояние локализованных спинов можно пренебречь. Это означает, что равновесная конфигурация локализованных спинов определяется в главном приближении взаимодействиями (9). Свойства же электронов и дырок в существенной степени зависят от структуры дальнего магнитного порядка из-за взаимодействия (8). Далее ограничимся рассмотрением случая низкой концентрации зонных квазичастиц. В этой связи отметим, что в монониктидах церия, являющихся АФМ-полуметаллами при $T < T_N$, концентрация электронов проводимости n_c в расчете на одну ячейку составляет величину порядка 10^{-2} .

Для нахождения энергетического спектра электронов и дырок АФМ-полуметалла в магнитном поле перейдем для каждой из подрешеток в локальные системы координат. Смысл такого перехода заключается в том, чтобы равновесная намагниченность каждой подрешетки была ориентирована вдоль новой оси Oz' , как показано на рис. 1. Этой программе в формальном отношении соответствует проведение унитарного преобразования гамильтониана

$$H \rightarrow H' = U H U^+, \quad (11)$$

где унитарный оператор U может быть выбран в виде

$$U = \prod_f \prod_g \exp\{i\theta(S_f^y + \sigma_f^y)\} \exp\{-i\theta(S_g^y + \sigma_g^y)\}. \quad (12)$$

Из структуры генераторов преобразования следует, что преобразование (11) описывает поворот в спиновом пространстве локализованной и коллективизированной подсистем вокруг оси Oy на угол θ для F -подрешетки и на угол $-\theta$ для G -подрешетки.

Используя (12), нетрудно получить законы преобразований для электронных операторов

$$c_{f\sigma}(\theta) = U c_{f\sigma} U^+ = c_{f\sigma} \cos \frac{\theta}{2} - 2\sigma c_{f\bar{\sigma}} \sin \frac{\theta}{2}, \quad (13)$$

где $\bar{\sigma} = -\sigma$.

Спиновые операторы F -подрешетки преобразуются следующим образом:

$$S_f^x(\theta) \equiv U S_f^x U^+ = S_f^x \cos \theta + S_f^z \sin \theta,$$

$$S_f^y(\theta) \equiv U S_f^y U^+ = S_f^y,$$

$$S_f^z(\theta) \equiv U S_f^z U^+ = S_f^z \cos \theta - S_f^x \sin \theta. \quad (14)$$

Формулы (13) соответствуют обычному преобразованию спинорных величин, а выражения (14) реализуют преобразования операторов по тензорному представлению. Законы преобразования для $c_{g\sigma}$ и S_g следуют из формул (13) и (14), если в них сделать замену $\theta \rightarrow -\theta$.

Используя законы преобразования для операторных величин и переход к представлению квазиимпульса, получим электрон-дырочный гамильтониан

$$H_{eh} = \sum_{\lambda k \sigma} \left\{ (\varepsilon_{\lambda k \sigma} - \mu_{\lambda}) (c_{\lambda k \sigma}^+ c_{\lambda k \sigma} + d_{\lambda k \sigma}^+ d_{\lambda k \sigma}) + \Gamma_k^{\lambda} \cos \theta (c_{\lambda k \sigma}^+ d_{\lambda k \sigma} + \text{h. c.}) + 2\sigma \Gamma_k^{\lambda} \sin \theta (c_{\lambda k \sigma}^+ d_{\lambda k \sigma} + \text{h. c.}) + \mu_B H \sin \theta (c_{\lambda k \sigma}^+ c_{\lambda k \bar{\sigma}} - d_{\lambda k \sigma}^+ d_{\lambda k \bar{\sigma}}) \right\}, \quad (15)$$

где

$$\varepsilon_{\lambda k \sigma} = \varepsilon_{\lambda} + t_k^{\lambda} - 2\sigma \bar{H}, \quad \bar{H} = \mu_B H \cos \theta + J R / 2. \quad (16)$$

Величины ε_e и ε_h определяют "центры тяжести" квазичастичных зон. При получении выражения (15) в гамильтониане H_{s-f} было проведено обычное выделение слагаемых, соответствующих учету среднего поля. Они включены в H_{eh} посредством эффективного поля \bar{H} . Слагаемые, описывающие эффекты корреляций, были опущены. Возможность использования приближения среднего поля для H_{s-f} обусловлена как малой концентрацией зонных квазичастиц, так и низкими температурами ($T \ll T_N$).

3. Энергетический спектр электронов и дырок антиферромагнитного полуметалла

Для нахождения собственных значений гамильтониана (15) введем мацубаровские функции Грина

$$\begin{aligned} G_{\lambda k}^{\sigma_1 \sigma_2}(\tau - \tau') &= -\langle T_{\tau} \tilde{c}_{\lambda k \sigma_1}(\tau) \tilde{c}_{\lambda k \sigma_2}^+(\tau') \rangle \\ &= T \sum_{\omega_n} e^{-i\omega_n(\tau - \tau')} G_{\lambda k}^{\sigma_1 \sigma_2}(\omega_n), \\ F_{\lambda k}^{\sigma_1 \sigma_2}(\tau - \tau') &= -\langle T_{\tau} \tilde{d}_{\lambda k \sigma_1}(\tau) \tilde{c}_{\lambda k \sigma_2}^+(\tau') \rangle \\ &= T \sum_{\omega_n} e^{-i\omega_n(\tau - \tau')} F_{\lambda k}^{\sigma_1 \sigma_2}(\omega_n), \end{aligned} \quad (17)$$

где знак тильды над операторами означает, что они берутся в представлении Гейзенберга с мацубаровским временем τ [17]. Мацубаровские частоты $\omega_n = (2n + 1)\pi T$, $n = 0, \pm 1, \pm 2, \dots$ используются для перехода к описанию системы с помощью функций $G_{\lambda k}^{\sigma_1 \sigma_2}(\omega_n)$ и $F_{\lambda k}^{\sigma_1 \sigma_2}(\omega_n)$.

Система уравнений для нахождения неизвестных функций Грина может быть записана в виде

$$\begin{aligned} (i\omega_n - \varepsilon_{\lambda k \sigma}) G_{\lambda k}^{\sigma \sigma'}(\omega_n) &= \delta_{\sigma \sigma'} + \Gamma_k \cos \theta F_{\lambda k}^{\sigma \sigma'}(\omega_n) \\ &+ 2\sigma \Gamma_k \sin \theta F_{\lambda k}^{\sigma \sigma'}(\omega_n) + \mu_B H \sin \theta G_{\lambda k}^{\sigma \sigma'}(\omega_n), \\ (i\omega_n - \varepsilon_{\lambda k \sigma}) F_{\lambda k}^{\sigma \sigma'}(\omega_n) &= \Gamma_k \cos \theta G_{\lambda k}^{\sigma \sigma'}(\omega_n) \\ &+ 2\sigma \Gamma_k \sin \theta G_{\lambda k}^{\sigma \sigma'}(\omega_n) - \mu_B H \sin \theta F_{\lambda k}^{\sigma \sigma'}(\omega_n). \end{aligned} \quad (18)$$

Система (18) четырех уравнений для четырех функций Грина $G_{\lambda k}^{\sigma \sigma}$, $G_{\lambda k}^{\bar{\sigma} \bar{\sigma}}$, $F_{\lambda k}^{\sigma \sigma}$ и $F_{\lambda k}^{\bar{\sigma} \bar{\sigma}}$ позволяет полностью описать спектральные и температурные свойства коллективных квазичастиц. Так, энергетический спектр определяется корнями уравнения

$$\det \begin{pmatrix} E - \varepsilon_{\lambda k \sigma} & -\Gamma_k \cos \theta & -2\sigma \Gamma_k \sin \theta & -\mu_B H \sin \theta \\ -\Gamma_k \cos \theta & E - \varepsilon_{\lambda k \sigma} & \mu_B H \sin \theta & 2\sigma \Gamma_k \sin \theta \\ -2\sigma \Gamma_k \sin \theta & \mu_B H \sin \theta & E - \varepsilon_{\lambda k \bar{\sigma}} & -\Gamma_k \cos \theta \\ -\mu_B H \sin \theta & 2\sigma \Gamma_k \sin \theta & -\Gamma_k \cos \theta & E - \varepsilon_{\lambda k \bar{\sigma}} \end{pmatrix} = 0. \quad (19)$$

Решая это уравнение, находим две ветви, каждая из которых при $R \neq 0$ расщеплена по проекции спинового момента

$$\begin{aligned} E_{\lambda k \sigma}^{\pm} &= \varepsilon_{\lambda} + t_k^{\lambda} \\ &\pm \sqrt{[\Gamma_k^{\lambda} + \sigma(2\mu_B H + J_{\lambda} R \cos \theta)]^2 + \frac{1}{4}(J_{\lambda} R \sin \theta)^2}. \end{aligned} \quad (20)$$

Если $H = 0$, то $\theta = \pi/2$ и формула (20) переходит в более простое выражение

$$E_{\lambda k \sigma}^{\pm} = \varepsilon_{\lambda} + t_k^{\lambda} \pm \sqrt{(\Gamma_k^{\lambda})^2 + \frac{1}{4}J_{\lambda}^2 R^2}, \quad (21)$$

описывающее распространение электронов при $\lambda = e$ или дырок $\lambda = h$ в неелевской фазе антиферромагнитного полуметалла. В частном случае, когда учитываются переходы лишь между ближайшими соседями, получается хорошо известное выражение для спектра [13]

$$E_{\lambda k \sigma}^{\pm} = \pm \sqrt{(\Gamma_k^{\lambda})^2 + \frac{1}{4}J_{\lambda}^2 R^2}. \quad (22)$$

В магнитном поле происходит расщепление энергетического спектра по направлению спинового момента квазичастицы.

Из-за малой концентрации зонных носителей в рассматриваемых полуметаллах термодинамические

свойства электронн-дырочной подсистемы определяются состояниями с малыми значениями квазиимпульса. Для таких состояний формула для энергетического спектра может быть существенно упрощена. Учитывая перескоки электронов и дырок лишь между ближайшими (параметр t_1^{λ}) и следующими за ближайшими соседями (параметр t_2^{λ}), получаем

$$\begin{aligned} \Gamma_k^{\lambda} &= 8t_1^{\lambda} \cos\left(\frac{k_x b}{2}\right) \cos\left(\frac{k_y b}{2}\right) \cos\left(\frac{k_z b}{2}\right), \\ t_k^{\lambda} &= 2t_2^{\lambda} \left(\cos(k_x b) + \cos(k_y b) + \cos(k_z b) \right), \end{aligned} \quad (23)$$

где b — параметр элементарной ячейки в АФМ-фазе. Считая, что ширины зон квазичастиц являются наибольшими энергетическими параметрами, электронный спектр нижней зоны можно представить в виде

$$E_{ek\sigma}^{-} = \frac{\hbar^2 k^2}{2m_e} - \sigma \left(2\mu_B H + J_e R \cos \theta \right) \text{sign}(t_1^e), \quad (24)$$

$$kb \ll 1,$$

где эффективная электронная масса определяется соотношением

$$\frac{\hbar^2}{2m_e} = (|t_1^e - t_2^e|) b^2. \quad (25)$$

При записи (24) произведен сдвиг отсчета энергии с тем, чтобы выполнялось равенство

$$\varepsilon^e - 8|t_1^e| + et_2^e = 0. \quad (26)$$

Дырочный спектр нижней зоны описывается выражением

$$\begin{aligned} E_{ek\sigma}^{-} &= -\Delta + \frac{\hbar^2 k^2}{2m_h} - \sigma \left(2\mu_B H + J_h R \cos \theta \right) \text{sign}(t_1^h), \\ &kb \ll 1, \end{aligned} \quad (27)$$

где

$$-\Delta = \varepsilon^h - 8|t_1^h| + 6t_2^h, \quad \frac{\hbar^2}{2m_h} = (|t_1^h| - t_2^h) b^2. \quad (28)$$

Для дальнейшего рассмотрения существенно, что в АФМ-фазе возникает дополнительное движение зон, обусловленное наличием слагаемых $J_{\lambda} R \cos \theta$. В главном приближении в силу отмеченной малости концентрации зонных квазичастиц продольная намагниченность $R \cos \theta$ определяется лишь гамильтонианом (9). Здесь мы воспользуемся результатами, представленными в обзоре [18]. В приближении ближайших соседей

$$R \cos \theta = S \cos \theta_0 \left[1 - \frac{\alpha}{2S} \sin^2 \theta_0 \right], \quad (29)$$

где равновесный угол θ_0 без учета квантовых флуктуаций определяется обычным выражением

$$\cos \theta_0 = g\mu_B H / 2SK_0. \quad (30)$$

Второе слагаемое в квадратных скобках выражения (29) обусловлено квантовыми флуктуациями. Параметр α имеет вид [18]

$$\alpha = W + \left\{ 2S[1 - (2S)^{-1}] \right\}^{-1}, \quad (31)$$

где W — интеграл Уотсона, численно равный 1.52. Как будет показано далее, именно это слагаемое приводит к ряду особенностей эффекта ГА в АФМ-фазе.

4. Особенности эффекта ГА в АФМ-полуметалле

Используя полученные выражения для низкоэнергетического спектра (24) и (27) электронов и дырок, нетрудно найти выражение для осциллирующей части намагниченности зонных носителей тока. Воспользовавшись известными результатами [19], получим

$$M_{\sim} = - \sum_{\lambda\sigma} \left(\frac{\sqrt{2\mu_B} m_{\lambda}^{3/2} \tilde{\mu}_{\lambda\sigma} T}{\pi \hbar^3 \sqrt{H}} \right) \times \sum_{k=1}^{\infty} \frac{(-1)^k \sin(\pi \tilde{\mu}_{\lambda\sigma} k / \hbar \omega_{c\lambda} - \pi/4)}{\sqrt{k} \operatorname{sh}(\pi^2 k T / \hbar \omega_{c\lambda})}, \quad (32)$$

где $\omega_{c\lambda} = eH/m_{\lambda}c$ — циклотронная частота для квазичастиц сорта λ . Влияние магнитного порядка проявляется через перенормированные выражения для химических потенциалов $\tilde{\mu}_{\lambda\sigma}$

$$\tilde{\mu}_{\lambda\sigma} = \mu_{\lambda} + \sigma (2\mu_B H + J_{\lambda} R \cos \theta) + \Delta_{\lambda}. \quad (33)$$

Здесь предполагается, что $\Delta_e = 0$, $\Delta_h = \Delta$. В формуле для M_{\sim} проводится суммирование лишь по тем λ и σ , для которых $\tilde{\mu}_{\lambda\sigma} \gg \hbar \omega_{c\lambda}$.

Учитывая выражения (29) и (30), находим, что в скошенной АФМ-фазе зависимость $\tilde{\mu}_{\lambda\sigma}$ от H определяется выражением

$$\tilde{\mu}_{\lambda\sigma} = \mu_{\lambda} + \Delta_{\lambda} + \sigma \left[2\mu_B H + J_{\lambda} \left(1 - \frac{\alpha}{2S} \right) \left(\frac{g\mu_B H}{2SK_0} \right) \right] + \sigma \left(\frac{\alpha}{2} \right) J_{\lambda} \left(\frac{g\mu_B H}{2SK_0} \right)^3. \quad (34)$$

Линейная по H зависимость $\tilde{\mu}_{\lambda\sigma}$ после деления на $\hbar \omega_{c\lambda}$ приводит лишь к смещению постоянной фазы в аргументе у синуса в (32). Последнее же слагаемое целиком обусловлено квантовыми флуктуациями и, как показано далее, может существенно влиять на эффект ГА.

Остановимся подробнее на анализе особенностей поведения M_{\sim} при таких значениях магнитного поля, когда $H \sim H_c = 2SK_0/g\mu_B H$. Критическое поле H_c соответствует тому значению магнитного поля H , при котором $\theta = 0$, т.е. скошенная АФМ-фаза переходит в ферромагнитную фазу.

В области полей $H < H_c \cos \theta < 1$ и зависимость аргумента синуса от магнитного поля в (32) имеет кроме обычного слагаемого $\sim 1/H$ дополнительное слагаемое $\sim H^2$. Поэтому зависимость полной фазы от H представима в виде

$$\varphi(H) = \varphi_0 + \frac{a}{H} + bH^2, \quad (35)$$

где φ_0 , a и b — постоянные величины. Следовательно, в скошенной АФМ-фазе осцилляции намагниченности перестают быть периодическими по $1/H$, как в обычном эффекте ГА, и имеют более сложную зависимость. Это обстоятельство существенно влияет на определение параметров электронной структуры по эффекту ГА. Вклад квадратичного по H слагаемого в (35) будет существенным, если набег фазы, обусловленный этим слагаемым, при изменении поля от H до $H + \Delta H$ будет соизмерим с набегом фазы от обычного слагаемого. Отсюда получаем простую оценку для реализации аномального поведения M_{\sim}

$$\frac{3}{2} \left(\frac{\pi J_{\lambda}}{\tilde{\mu}_{\lambda\sigma}} \right) \left(\frac{g\mu_B H}{2SK_0} \right)^3 \leq 1. \quad (36)$$

Видно, что в окрестности перехода из скошенной фазы, когда $g\mu_B H/2SK_0 \sim 1$, условие (36) хорошо выполняется, если $\pi J_{\lambda} \sim \tilde{\mu}_{\lambda\sigma}$.

При $H > H_c$ подсистема локализованных спинов находится в ферромагнитной фазе. В этом случае $R \cos \theta = S$ и никакого дополнительного движения подзон не происходит. Поэтому имеет место обычный эффект ГА.

В совокупности объединение полученных результатов позволяет сделать вывод о наличии резкого изменения осцилляционных зависимостей M_{\sim} при переходе через H_c . На рис. 2 продемонстрированы обсуждаемые особенности. Для простоты с целью выявления эффекта в чистом виде рассмотрена простейшая ситуация, когда массы электронов и дырок одинаковы и равны массе свободного электрона. Для других параметров электронной структуры выбирались следующие значения: $J_e = J_h = 0.15$ eV, $\Delta = 0.1$ eV. Значение спина S принималось равным 5/2. Величина K_0 по приближенной формуле $T_N \approx S(S+1)K_0/3$ связывалась с температурой Нееля T_N . Последняя же принималась равной 10 К. Температура выбиралась равной 1 К.

В зависимости M_{\sim} от H видны три особенности. Во-первых, при $H/H_c \sim 0.75$ расстояние между ближайшими минимумами в несколько раз превышает среднее расстояние между ними. Такое поведение M_{\sim} отражает конкуренцию двух механизмов формирования полной фазы $\varphi(H)$. Если учесть, что фаза $\varphi(H)$ представляется как число заполненных уровней Ландау, умноженное на π , то получаем следующую интерпретацию. При увеличении H расстояние $\hbar \omega_{c\lambda}$ между уровнями

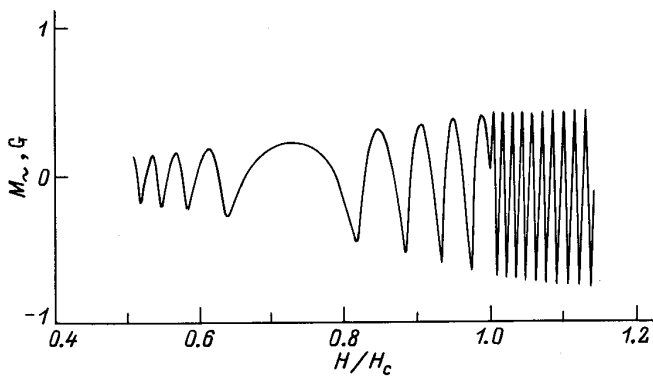


Рис. 2. Намагниченность зонных носителей в квантующем магнитном поле в АФМ-полуметалле с эквивалентными электронами и дырками.

Ландау увеличивается, что обуславливает тенденцию к уменьшению числа заполненных уровней. С другой стороны, наличие $s-d(f)$ -обменной связи приводит к понижению дна зоны и увеличению числа уровней Ландау, расположенных ниже химического потенциала. Последний эффект проявляется тем сильнее, чем ближе H к H_c . Поэтому в области относительно низких полей преобладает тенденция к уменьшению числа занятых уровней Ландау, тогда как при $H \approx H_c$ главенствует второй эффект. В результате имеется такое поле H_1 , в окрестности которого фаза изменяется незначительно.

Вторая особенность связана с изменением характера зависимости M_{\sim} от H при переходе через H_c . Если при $H > H_c$ восстанавливается периодичность по $1/H$, то при $H < H_c$ таковая периодичность отсутствует.

Третья особенность связана с резким изменением расстояния между ближайшими минимумами при переходе через H_c . При H/H_c меньше единицы, как отмечалось выше, набег фазы определяется двумя факторами, действующими в противоположных направлениях. Такое противодействие и приводит к растянутости осцилляционной кривой. Если же $H > H_c$, то имеется лишь один фактор и осцилляции являются частыми.

В случае различных эффективных масс амплитуды осцилляций намагниченности дырок и электронов могут существенно отличаться. В этом случае на фоне сильных осцилляций проявляются мелкие осцилляции, что приводит к уменьшению результирующей кривой M_{\sim} . Однако главная особенность, связанная с изменением типа магнитного упорядочения при $H = H_c$, проявляется по-прежнему достаточно ярко. Соответствующая ситуация отражена на рис. 3.

Проведенное рассмотрение особенностей эффекта ГА в полуметаллических антиферромагнетиках показывает, что при определенных условиях учет дальнего магнитного порядка является существенным. В

этой связи отметим, что фактор полуметалличности оказывается важным в следующем отношении. При изменении магнитного поля из-за $s-d(f)$ -обменной связи происходит движение электронных и дырочных зон. В условиях электрон-дырочной компенсации происходит лишь незначительное смещение химического потенциала μ . Именно этим обстоятельством объясняется механизм, обуславливающий движение уровней Ландау и прохождение их через химический потенциал. Аналогично этому в соединениях со смешанной валентностью и в тяжелых фермионах химический потенциал пиннингуется в окрестности локализованного или виртуального уровня. В этом случае дальний антиферромагнитный порядок также может влиять на изменение числа заполненных уровней Ландау, а следовательно, и на частоту осцилляций. Поскольку наиболее сильно отмеченный эффект проявляется в окрестности критического поля H_c , то очевидно, что при переходе магнитной подсистемы из скошенной АФМ-фазы в ферромагнитную должно наблюдаться изменение периода осцилляций намагниченности M_{\sim} . Такое изменение экспериментально было обнаружено на тяжелофермионном сверхпроводнике CeCu_2Si_2 [7].

Следует отметить также, что рассмотренные аномалии эффекта ГА связаны не со среднеполевым изменением характеристик в АФМ-подсистеме, а с квантовыми флуктуациями. Причина состоит в том, что среднеполевая зависимость продольной намагниченности из-за ее пропорциональности H приводит

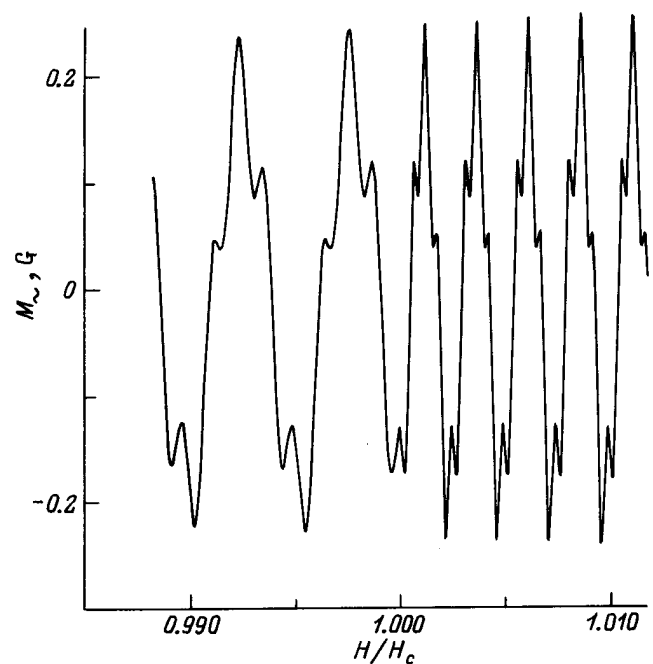


Рис. 3. Эффект ГА в АФМ-полуметалле с неэквивалентными электронами и дырками. $J_e = 0.2 \text{ eV}$, $J_h = 0.3 \text{ eV}$, $m_e = 0.1m_0$, $m_h = 0.2m_0$. Остальные параметры те же, что и для рис. 2.

(после деления на $\hbar\omega_c$) лишь к появлению постоянной фазы в аргументе осциллирующих функций. Квантовые же флуктуации в АФМ-подсистеме обуславливают набег фаз, пропорциональный H^2 . В этой связи особый интерес представляют исследования эффекта ГА в квазинизкомерных проводящих антиферромагнетиках, так как квазинизкомерность способствует возрастанию квантовых флуктуаций.

Работа выполнена при поддержке Российского фонда фундаментальных исследований (грант 96-02-16075-а).

Список литературы

- [1] G. Czycholl. Phys. Rep. **143**, 277 (1986).
- [2] D.M. Newns, N. Reed. Adv. Phys. **36**, 799 (1987).
- [3] V.A. Khodel, V.R. Shaginyan, V.V. Khodel. Phys. Rep. **1**, 249 (1994).
- [4] E. Dagotto. Rev. Mod. Phys. **66**, 763 (1994).
- [5] C.M. Varma, P.B. Littlewood, S. Schmitt-Rink, E. Adrahams, A. Ruckenstein. Phys. Rev. Lett. **63**, 1996 (1989).
- [6] J.H. Kim, K. Levin, A. Auerbach. Phys. Rev. **B39**, 11633 (1989).
- [7] M. Hunt, P. Meeson, P.-A. Probst, P. Peinders, M. Springford, W. Assmus, W. Sun. J. Phys.: Cond. Matt. **2**, 6859 (1980).
- [8] J.W. Rusul, P. Schlottmann. Physica **B163**, 689 (1990).
- [9] R. Sollie, P. Schlottmann. Phys. Rev. **B41**, 8860 (1990).
- [10] T. Kasuya. J. Phys. Soc. Jap. **64**, 1453 (1995).
- [11] T. Kasuya, T. Suzuki, Y. Haga. J. Phys. Soc. Jap. **62**, 2549 (1993).
- [12] И.М. Лифшиц, М.Я. Азбель, М.И. Каганов. Электронная теория металлов. М. (1971). 416 с.
- [13] Э.Л. Нагаев. Физика магнитных полупроводников. М. (1979).
- [14] Дж. Займан. Принципы теории твердого тела. М. (1966).
- [15] А.С. Боровик-Романов. В кн.: Антиферромагнетизм и ферриты. М. (1962).
- [16] А.Г. Гуревич. Магнитный резонанс в ферритах и антиферромагнетиках. М. (1973).
- [17] А.А. Абрикосов, А.П. Горьков, И.Е. Дзялошинский. Методы квантовой теории поля в статистической физике. М. (1962).
- [18] М.И. Каганов, А.В. Чубуков. УФН **153**, 4, 537 (1987).
- [19] Л.Д. Ландау, Е.М. Лифшиц. Статистическая физика. М. (1976). Т. 5. Ч. 1.